



دانشگاه آزاد اسلامی  
واحد زاهدان

فصلنامه زمین‌شناسی کاربردی

سال ۸ (۱۳۹۱)، شماره ۴: ۳۲۳-۳۳۴

[www.appliedgeology.ir](http://www.appliedgeology.ir)

# طراحی نگهداری اولیه تونل انتقال آب گلاب با تأکید بر خطرات زمین‌شناسی

محمد جمیع (همیم‌دل)<sup>۱\*</sup> و راهب باقرپور<sup>۲</sup>

(۱) کارشناسی ارشد مهندسی استخراج معدن، دانشگاه صنعتی شهرورد، mj.rahimdel@yahoo.com

(۲) استادیار دانشکده مهندسی معدن، دانشگاه صنعتی اصفهان، bagherpour@cc.iut.ac.ir

<sup>\*</sup>) عهده‌دار مکاتبات

دریافت: ۹۱/۷/۱؛ دریافت اصلاح شده: ۹۱/۱۲/۱؛ پذیرش: ۹۱/۱۱/۱۸؛ قابل دسترس در تارنما: ۹۲/۴/۳۰

## چکیده

آگاهی از خطرات زمین‌شناسی، نقش مهمی در انتخاب سامانه نگهداری مناسب برای سازه‌های زیرزمینی دارد. تونل انتقال آب گلاب با طول حدود ۱۱ کیلومتر و قطر حفاری ۴/۲ متر، بخشی از طرح آبرسانی از سد زاینده‌رود به شهرهای کاشان و اصفهان است. با توجه به عبور تونل از نواحی مرتفع و کوهستانی و وجود توده‌سنگ‌های آهکی و نسبتاً ناپایدار و سست در مسیر، بررسی خطرات زمین‌شناسی از جمله مچاله‌شوندگی و انفجارسنگ به منظور انتخاب سامانه نگهداری مناسب، ضروری می‌باشد. در این تحقیق، ابتدا با استفاده از برداشت‌های زمین‌شناسی و مطالعه گمانه‌های حفاری شده، مسیر تونل تقسیم‌بندی شد. و سپس شدت مچاله‌شوندگی و انفجارسنگ در هر بخش بررسی گردید. در نهایت، با توجه به شدت انفجارسنگ و مچاله‌شوندگی، مسیر تونل تقسیم‌بندی شده و به کمک روش عددی تناضل محدود (نرم‌افزار FLAC)، نگهداری اولیه تونل در هر بخش بررسی گردید. با توجه به بررسی‌های انجام شده، توده‌سنگ‌های مسیر تونل به سه بخش، A (کیلومتر ۰۴۹۰ تا ۰۶۴۰) با مچاله‌شوندگی متوسط، B (کیلومتر ۰۴۹۷۰ تا ۰۶۴۰) با پتانسیل مچاله‌شوندگی شدید تا انفجارسنگ ضعیف و C (کیلومتر ۰۶۴۰ تا ۱۰۱۶۰) با پتانسیل مچاله‌شوندگی ضعیف تا متوسط تفکیک شدند. نگهداری اولیه تونل با بهره‌گیری از نرم‌افزار عددی FLAC2D، به اندازه ۵ سانتی‌متر شاتکریت برای بخش‌های A و C و ۷ سانتی‌متر شاتکریت برای بخش B تعیین گردید.

**واژه‌های کلیدی:** مچاله‌شوندگی، انفجارسنگ، نگهداری اولیه، نرم‌افزار FLAC، تونل انتقال آب گلاب.

## ۱- مقدمه

بخشی از طرح آبرسانی به شهرهای کاشان و اصفهان است که از سد زاینده رود آغاز و تا دشت کارون امتداد دارد. با توجه به عبور تونل از نواحی مرتفع و کوهستانی و همچنین وجود توده‌سنگ‌های آهکی و متر در استان اصفهان و در نزدیکی شهر تیران واقع شده است. این تونل

### ۳- تعریف مچاله‌شوندگی

از نظر ترزاوی (Terzaghi 1946) سنگ‌های مچاله شونده به آهستگی به درون تونل حرکت می‌کنند، بدون آنکه حجم آن‌ها به طور محسوس افزایش پیدا کنند. بر اساس نظر آیدان و همکاران (Aydan et al. 1993)، مچاله‌شوندگی به صورت کاهش در مقطع عرضی تونل به دلیل تغییرشکل‌های بزرگ مقیاس تعریف شده است.

بارلا و دالگیک (Barla 2002, Dalgic 2002) معتقدند که مچاله‌شوندگی سنگ توسط جریان پلاستیک (خراش) توده‌سنگ‌هایی که در معرض تش هستند اتفاق افتاده و در صورت تجاوز از حد تنش برشی، باعث شکست آن خواهد شد.

شرستا و بروچ در سال ۲۰۰۸ و هادسون در سال ۲۰۱۰ (Shrestha & Broch 2008, Hudson 2010) بیان کردند که مشکلات مچاله‌شوندگی در تونل‌های عمیقی که در توده‌سنگ‌های ضعیف حفاری می‌شوند، عادی است. همچنین همگرایی‌های قابل توجهی در تونل‌های کم عمقی که در توده‌سنگ‌های ضعیف و یا در توده‌سنگ‌هایی که در شرایط بیش‌تنشی (اثرات تکتونیکی یا توبوگرافی) هستند، اتفاق می‌افتد.

### ۳-۱-۱-۱- روش‌های ارزیابی مچاله‌شوندگی

برای ارزیابی شرایط مچاله‌شوندگی، روش‌های تجربی، نیمه تجربی و تحلیلی توسط محققین مختلفی ارائه گردیده است. در ادامه به معروفی این روش‌ها پرداخته می‌شود.

#### ۳-۱-۱-۱-۱- روش‌های تجربی

#### ۳-۱-۱-۱-۲- روش سین و همکاران

سین و همکاران (Singh et al. 2007)، با توجه به روباره (H) و شاخص کیفیت تونل‌زنی (Q) مچاله‌شوندگی را به صورت جدول ۳ ارائه نمودند.

#### ۳-۱-۱-۱-۳- روش گوئل و همکاران

گوئل و همکاران (Goel et al. 1997)، مچاله شوندگی را به صورت رابطه ۱ بیان نمودند.

$$N=Q \cdot SRF \quad (1)$$

در این رابطه  $Q$  شاخص کیفیت سنگ و SRF ضریب کاهش تنش توده‌سنگ می‌باشد.

بر اساس تصویر ۱ و در نظر گرفتن ضخامت روباره (H) و عرض تونل (B)، پتانسیل مچاله‌شوندگی تعیین می‌گردد.

نسبتاً ناپایدار در مسیر تونل، لازم است مخاطرات زمین‌شناسی از جمله مچاله‌شوندگی و انفجارسنگ در این مناطق مورد بررسی قرار گیرد. از جمله مشکلات تونل‌سازی در سنگ‌های ضعیف و در شرایط روباره زیاد، همگرایی وابسته به زمان و یا مچاله‌شوندگی در ضمن حفاری تونل است. با توجه به وجود توده‌سنگ‌های آهکی و نسبتاً ناپایدار و سست در مسیر تونل، بررسی شدت مچاله‌شوندگی در این مناطق ضروری است. انفجارسنگ به صورت پرتاپ شدید سنگ یا موادمعدنی از دیواره‌ها و ستون‌ها در حفاری‌های زیرزمینی عمیق و پرتنش اتفاق می‌افتد. با توجه به این که ضخامت روباره تونل گلاب در بعضی نقاط به بیش از ۵۰۰ متر می‌رسد، بنابراین احتمال وقوع انفجارسنگ در این نقاط وجود خواهد داشت. در این مقاله، ابتدا با استفاده از برداشت‌های زمین‌شناسی و مطالعه گمانه‌های حفاری شده، مسیر تونل تقسیم‌بندی شد. پس از بررسی تحلیلی و تجربی مچاله‌شوندگی و انفجارسنگ برای هر یک از بخش‌ها، نتایج با یکدیگر مقایسه شدند. در نهایت، نگهداری اولیه تونل با تاکید بر تقسیم‌بندی آن بر مبنای شدت انفجارسنگ و مچاله‌شوندگی بررسی گردید.

### ۴- زمین‌شناسی مسیر تونل

محدوده مورد مطالعه، بخشی از ایران مرکزی است که به صورت نوار دگرگون شده‌ای در امتداد و به موازات روراندگی زاگرس قرار دارد. توده‌سنگ‌های مسیر تونل شامل میکاپیست، ماسه‌سنگ، سیلیستون، فیلیت، اسلیت، شیل، سنگ‌آهک و کنگلومرا می‌باشند. مجموعه گسل دلان، از اصلی‌ترین ساختارهای زمین‌شناسی منطقه است. این گسل، دارای چندین گسل طویل با راستای NW-SE و شبیه زیاد به سمت جنوب غرب می‌باشد که با عملکرد امتداد لغز و با مؤلفه معکوس، واحدهای ژوراسیک را بر روی واحدهای کرتاسه و واحدهای کرتاسه را بر روی واحدهای ائوسن رانده است. تعداد ۴۵ گسل در مسیر تونل تشخیص داده شده که از این تعداد، ۱۲ عدد به صورت شاخه از گسل اصلی، ۳۰ عدد گسل اصلی و ۳ عدد گسل احتمالی است.

در بررسی توده‌سنگ‌های مسیر تونل، تعداد ۹ گمانه روی محور تونل حفر گردیده است. خصوصیات ژئوتکنیکی توده‌سنگ‌های مسیر تونل در جدول ۱ و شاخص کیفیت تونل‌زنی همراه با درجه پایداری توده-سنگ‌های مسیر تونل در جدول ۲ آورده شده است (قیاسوند ۱۳۸۵). در طبقه‌بندی کیو (Q)، سنگ‌ها از نظر کیفیت به انواع خوب یا بد تقسیم نمی‌شوند، بلکه عددی که ممکن است از ۱۰۰۰ تا ۱۰۰۱ تا ۱۰۰۰٪ تغییر کند معرف مشخصات سنگ است. به طور کلی اعداد بزرگ‌تر سنگ با کیفیت بهتر را معرفی می‌کنند (فرهودی و همکاران ۱۳۸۶).

جدول ۱- خصوصیات ژئوتکنیکی توده‌سنگ‌های مسیر تونل

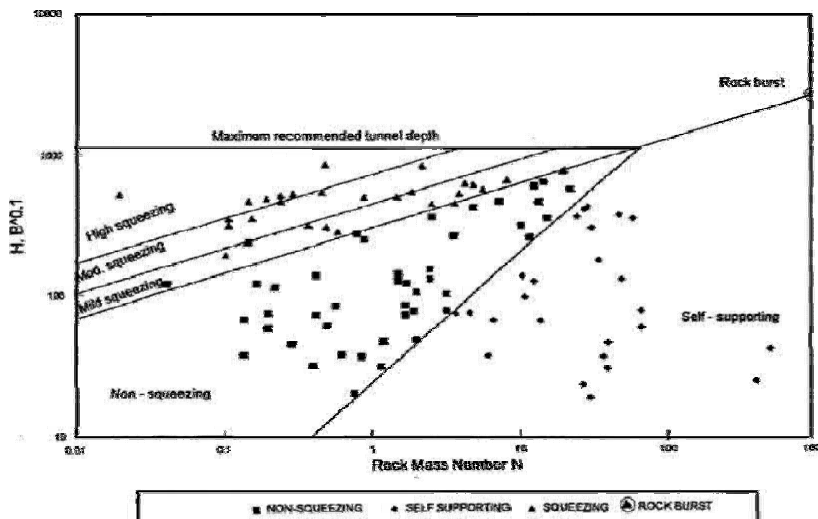
قطع	کیلومتر تونل (m)	سنگ‌شناسی	روباوه (m)	مقاومت فشاری تکمحوری (Mpa)	مدول تغییر شکل پذیری (GPa)
I	۰-۱۰۵	میکاشیست با میان لایه ماسه‌سنگ	۱۵	۳/۸	۲/۵
II	۱۰۵-۲۰۵۵	میکاشیست، اسلیت و ماسه‌سنگ دگرگون شده	۲۰۰	۳/۸	۲/۵۸
III	۲۰۵۵-۲۵۲۰	میکاشیست با میان لایه ماسه‌سنگ	۱۲۰	۲/۷	۲/۲۱
IV	۲۵۲۰-۳۰۰۰	اسلیت و ماسه‌سنگ دگرگون شده	۱۳۰	۳	۳/۲۱
V	۳۰۰۰-۳۶۶۰	میکاشیست با میان لایه‌ای از اسلیت، ماسه‌سنگ و سنگ‌آهک دگرگون شده	۲۲۰	۳/۸	۲/۵۸
VI	۳۶۶۰-۴۹۷۰	میکاشیست و فیلیت	۳۳۰	۲/۷	۱/۷۵
VII	۴۹۷۰-۶۲۵۰	فیلیت و اسلیت	۴۰۰	۲/۷	۱/۷۵
VIII	۶۲۵۰-۶۴۴۰	موزنونیت- دبوریت	۴۰۰	۳۲	۱۱/۵۴
IX	۶۴۴۰-۸۵۸۵	شیل ژوراسیک	۴۳۰	۲/۷	۱/۷۵
X	۸۵۸۵-۸۸۹۰	موزنونیت- دبوریت	۴۵۰	۳۲	۱۱/۵۴
XI	۸۸۹۰-۹۲۱۵	سنگ‌آهک کرتاسه	۵۳۰	۱۰	۵
XII	۹۲۱۵-۹۷۷۰	کنگلومرا	۵۳۰	۲۲	۸/۹۹
XIII	۹۷۷۰-۱۰۱۶۰	کنگلومرا	۳۴۰	۸	۴/۰۸
XIV	۱۰۱۶۰-۱۱۰۸۰	شیل و مارن	۲۵۰	۳/۵	۲/۴۳

جدول ۲- شاخص کیفیت تونلزنی برای توده‌سنگ‌های مسیر تونل

قطع	شاخص کیفیت تونلزنی (Q)	طبقه پایداری
I	۰/۴۱	خیلی ضعیف
II	۰/۴۵	خیلی ضعیف
III	۰/۴	خیلی ضعیف
IV	۱/۱	ضعیف
V	۰/۴۵	خیلی ضعیف
VI	۰/۲	خیلی ضعیف
VII	۰/۲	خیلی ضعیف
VIII	۴/۸	نسبتاً خوب
IX	۰/۲	خیلی ضعیف
X	۴/۸	نسبتاً خوب
XI	۱/۲۵	ضعیف
XII	۳/۳	ضعیف
XIII	۱/۲	ضعیف
XIV	۰/۴۱	خیلی ضعیف

جدول ۳- پتانسیل مچاله‌شوندگی بر مبنای معیار سین (Singh et al. 2007)

	$<350Q^{1/3}$	$>350Q^{1/3}$	H
مچاله‌شوندگی	بودن	شرایط	
مچاله‌شوندگی	مچاله‌شوندگی	مچاله‌شوندگی	



تصویر ۱- معیار گوئل و همکاران (Goel et al. 1997)

$$\eta_f = 5\sigma_{ci}^{-0.32}, \eta_s = 3\sigma_{ci}^{-0.25}, \eta_p = 2\sigma_{ci}^{-0.17}, \quad \text{رابطه (۳)}$$

$$\varepsilon_\theta^e = \frac{\sigma_{cm}}{E_m}, \varepsilon_\theta^a = \frac{\sigma_\theta}{E_m}$$

در این رابطه، مقادیر  $\varepsilon_\theta^e$  و  $\varepsilon_\theta^a$  به ترتیب حد کرنش الاستیک برای تودهسنگ و کرنش مماسی اطراف تونل در میدان تنش هیدرواستاتیک هستند.

### ۳-۱-۲-۴- روش هوگ و مارینوس

در این روش، از نسبت مقاومت فشاری تکمحوری سنگ به تنش برجا ( $\sigma_{cm}/P_0$ ) و میزان کرنش شعاعی جداره تونل ( $\varepsilon_t$ ) طبق رابطه ۴ استفاده می‌شود. شدت مچاله‌شوندگی نیز با استفاده از جدول ۶ مورد بررسی قرار می‌گیرد (Hoek & Marinos 2000).

$$\varepsilon_t = \frac{0.15}{P_0} (1 - \frac{P_l}{P_0}) \sigma_{cm}^{-(3P_l/P_0 + 1)/(3.8P_l/P_0 + 0.54)} \quad \text{رابطه (۴)}$$

در این رابطه،  $P_l$ : فشار وارد بر سیستم نگهداری (MPa)،  $P_0$ : تنش برجا (MPa)،  $\sigma_{cm}$ : تنش برجا (MPa) است.

### ۳-۱-۲-۵- روش جتو و همکاران

جتو و همکاران (Jethwa et al. 1984)، با استفاده از مقاومت توده-سنگ، مچاله‌شوندگی را به صورت رابطه ۲ و جدول ۴ ارائه کردنداند.

$$N_c = \frac{\sigma_{cm}}{P_0} = \frac{\sigma_{cm}}{\gamma \cdot H} \quad \text{رابطه (۲)}$$

در این رابطه،  $\sigma_{cm}$ : مقاومت فشاری تک محوری تودهسنگ،  $P_0$ : تنش برجا،  $\gamma$ : وزن مخصوص تودهسنگ و  $H$ : میزان روباره تونل است.

### ۳-۱-۲-۶- روش آیدان

در این روش، با توجه به مقاومت فشاری سنگ بکر ( $\sigma_{ci}$ )، حداقل تنش مماسی دیواره تونل ( $\sigma_0$ )، مقاومت فشاری تک محوری سنگ ( $\sigma_{cm}$ ) و مدلول تغییرشکل پذیری تودهسنگ ( $E_m$ ) با استفاده از رابطه ۳ و جدول ۵، پتانسیل مچاله‌شوندگی ارزیابی می‌شود (Singh et al. 2007).

جدول ۴- پتانسیل مچاله‌شوندگی بر مبنای روش جتو (Jethwa et al. 1984)

$N_c$	شدید	متوفط	خفیف	بدون مچاله‌شوندگی	پتانسیل مچاله‌شوندگی
<۲	۰/۸ - ۰/۴	۰/۸ - ۰/۴	۰/۸ - ۰/۴	>۲	<۰/۴

جدول ۵- پتانسیل مچاله‌شوندگی بر مبنای روش آیدان (Aydan et al. 1993)

شدت مچاله‌شوندگی	بدون مچاله‌شوندگی	ضعیف	متوفط	زیاد	$\eta_s < \varepsilon_\theta^a / \varepsilon_\theta^e < \eta_f$	$\varepsilon_\theta^a / \varepsilon_\theta^e > \eta_f$
خیلی زیاد	بدون مچاله‌شوندگی	ضعیف	متوفط	زیاد	$\eta_p < \varepsilon_\theta^a / \varepsilon_\theta^e < \eta_s$	$1 < \varepsilon_\theta^a / \varepsilon_\theta^e < \eta_p$

جدول ۶- پیش‌بینی مچاله‌شوندگی با استفاده از روش هوک و مارینوس (Hoek & Marinos 2000)

	$>10$	$10-5$	$5-2/5$	$2/5-1$	$<1$	$\epsilon_t$
شدت مچاله‌شوندگی	بدون مچاله‌شوندگی	کم	زیاد	خیلی زیاد	شدید	

درصدی از محدوده‌های مطالعه شده که در هر رده از مچاله‌شوندگی قرار دارند، محاسبه شده و در جدول ۸ ارائه شده است. با توجه به جدول ۸ معیارهای گوئل و هوک به ترتیب ۸۵ و ۱۰۰ درصد از محدوده‌های تونل را در رده بدون مچاله‌شوندگی قرار داده است. معیارهای سین، جتو، آیدان و آس آرام (International Society for Rock Mechanics, ISRM) مچاله‌شوندگی ضعیف تا متوسط را به بیشتر بخش‌های تونل اختصاص داده است. با این وجود، تنها معیار آیدان بیشترین درصد از بخش‌های تونل را در رده مچاله‌شوندگی شدید قرار داده است.

### ۳-۱-۳- روش‌های تحلیلی- تئوریکی

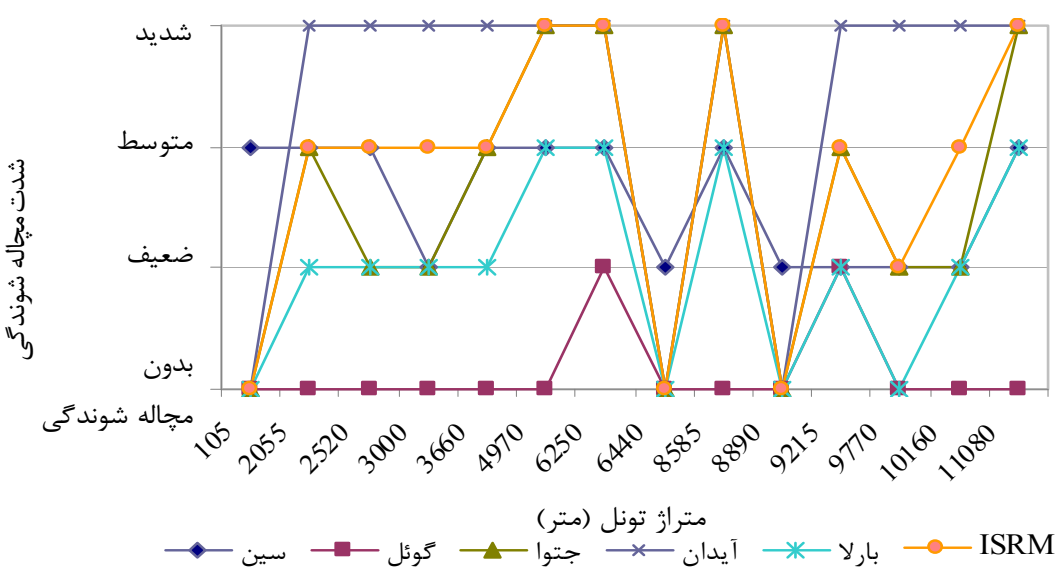
۳-۱-۳-۱- روش بارلا (Barla) و ابمنین بین‌المللی مکانیک سنگ پتانسیل مچاله‌شوندگی در این دو روش با توجه به مقادیر تنش مماسی ( $\sigma_0$ )، مقاومت فشاری تک محوری سنگ ( $\sigma_{cm}$ ) و تنش اصلی حداکثر ( $\sigma_1$ )، به صورت جدول ۷ پیش‌بینی می‌شود (Barla 2002).

### ۳-۲- بررسی شدت مچاله‌شوندگی در تونل انتقال آب گلاب

نتایج حاصل از بررسی مچاله‌شوندگی برای بخش‌هایی از تونل که وقوع این پدیده در آن‌ها محتمل است، با استفاده از معیارهای مختلف بررسی و نتایج در تصویر ۲ آورده شده است. برای ارزیابی نتایج،

جدول ۷- پتانسیل مچاله‌شوندگی بر مبنای روش بارلا و ISRM

شدت مچاله‌شوندگی	روش ارزیابی	
	( $\sigma_{cm}/\sigma_1$ ) Barla	( $\sigma_0/\sigma_{cm}$ ) ISRM
بدون مچاله‌شوندگی	$>1$	$<1$
ضعیف	$0/4-1$	$2-1$
متوسط	$0/2-0/4$	$4-2$
شدید	$0/2>$	$>4$



تصویر ۲- مقایسه روش‌های ارزیابی پتانسیل مچاله‌شوندگی

جدول ۸- مقایسه روش‌های ارزیابی پتانسیل مچاله‌شوندگی

روش ارزیابی درصدی از توغل که در هر رده از مچاله‌شوندگی قرار می‌گیرد

بدون لهیدگی	ضعیف	متوسط	شدید	روش ارزیابی
سین	۴۳	۵۷	۰	
گوئل	۸۵	۱۵	۰	
جتو	۲۱	۲۱	۳۰	
آیدان	۲۱	۰	۸۸	
هوک و مارینوس	۱۰۰	۰	۰	
بارلا	۲۸	۴۳	۲۹	
ISRM	۲۱	۷	۴۳	۲۹

زیرزمینی می‌شود. تاکنون تحقیقات گسترهای در طبقه‌بندی و تخمين

شدت وقوع انفجارسنگ انجام شده است. منابع علمی معتبر و در دسترس و مطالعات انجام شده در تحلیل، طبقه‌بندی، پیش‌بینی و کاهش مخاطرات انفجارسنگ به طور خلاصه در جدول ۹ آورده شده است. بر این اساس، بیشتر مطالعات انجام شده در راستای طبقه‌بندی و پیش‌بینی این پدیده بوده است.

#### ۴- معرفی پدیده انفجارسنگ

پدیده انفجارسنگ در حین استخراج مواد معدنی به روش زیرزمینی، حفر توغل در مناطق عمیق و عموماً در سنگ‌های مقاوم و در نقاط پرتنش رخ می‌دهد. این پدیده با آزاد شدن ناگهانی انرژی کرنشی ذخیره شده در سنگ در یک زمان کوتاه همراه است و علاوه بر آسیب‌رسانی به افراد و تجهیزات، باعث ریزش و ناپایداری فضای

جدول ۹- تحقیقات انجام شده در زمینه تحلیل، طبقه‌بندی و پیش‌بینی انفجارسنگ

زمینه تحقیقات	سال	محقق (محققان)
ارائه اولین مدل تحلیلی در پیش‌بینی انفجارسنگ	1996	Cook et al.
تحلیل مولفه‌های مؤثر در وقوع انفجارسنگ در معدن طلای Kolar	1996	Shivakumar et al.
مطالعه انفجارسنگ در توهدستگاه‌های ناپایدار	1996	Linkov
استفاده از روش اجزای محدود در پیش‌بینی انفجارسنگ	2004	Sharan
طبقه‌بندی انفجارسنگ بر اساس روش SVM	2005	Zhao
استفاده از روش تحلیل مجزا در پیش‌بینی انفجارسنگ	2007	Gong & Li
ارائه روش نرخ رهایش موضعی انرژی در شبیه‌سازی احتمال وقوع انفجارسنگ	2010	Jiang et al.
ارائه یک مدل عددی به منظور شبیه‌سازی انفجارسنگ ناشی از بارگزاری‌های دینامیکی	2010	Zhu et al.
ارائه روش ضربی تاثیر در پیش‌بینی پتانسیل انفجارسنگ	2010	Wang et al.
طبقه‌بندی انفجارسنگ بر اساس نظریه فازی	2010	Yang et al.
طبقه‌بندی انفجارسنگ بر اساس روش تجزیه و تحلیل فیشر (FDA)	2010	Zhou et al.
قطع نگاری سرعت در ارزیابی پتانسیل وقوع انفجارسنگ در معدنکاری‌های عمیق	2011	Hu et al.
تحلیل خطر انفجارسنگ در حفاری تمام قطع لایه‌های زغالی عمیق	2012	Xuehua et al.
تأثیر شکستگی‌های هیدرولیکی در کاهش خطرات ناشی از انفجارسنگ در معادن عمیق زغالسنگ	2012	Jun et al.
تحلیل سازوکار انفجار زغال ناشی از آتشیاری در معادن عمیق زغالسنگ	2012	Baisheng & Xiangchun

#### ۴-۱- معیارهای ارزیابی انفجارسنگ

##### ۴-۱-۱- معیار انرژی الاستیک مط

در این رابطه، PES: انرژی کرنشی ( $\text{kJ/m}^3$ )،  $E$ : مقاومت فشاری

طبق نتایج تحقیقات کوازنیوزسکی و همکاران (Kwasniewski et

al. 1994)، وقوع پدیده انفجارسنگ را می‌توان با توجه به میزان انرژی

تک محوری (MPa) و  $E$ : مدول الاستیسیته (GPa) است.

کرنشی در واحد سنگ طبق رابطه ۵ و جدول ۱۰ بیان کرد.

$$PES = \frac{\delta^2}{2E} \quad \text{رابطه (۵)}$$

**۱۴-۲- معيار تنش مماسی**

$$B = \frac{\sigma_c}{\sigma_t} \quad \text{رابطه (۷)}$$

در این رابطه،  $\sigma_c$  مقاومت فشاری تک محوری (Mpa) و  $\sigma_t$  مقاومت کششی سنگ (Mpa) است.

این معیار از نسبت تنش مماسی به مقاومت فشاری تک محوری طبق رابطه ۶ محاسبه می‌شود. شدت انفجارسنگ نیز بر اساس جدول ۲، پیش‌بینی می‌شود (Wang & Park 2001).

**۱۴-۳- معيار تنش‌ها**

این معیار از نسبت مقاومت فشاری تک محوری به تنش اصلی حداقل طبق رابطه ۸ محاسبه می‌شود.

**۱۴-۴- معيار تردی**

$$\alpha = \frac{\sigma_c}{\sigma_1} \quad \text{رابطه (۸)}$$

در این رابطه،  $\sigma_c$  مقاومت فشاری تک محوری (Mpa) و  $\sigma_1$  تنش اصلی حداقل (Mpa) است.

تردی سنگ طبق رابطه ۷، از نسبت مقاومت فشاری سنگ به مقاومت کششی آن محاسبه می‌گردد و در تخمین شدت انفجارسنگ (جدول ۱۲) قابل استفاده می‌باشد (Hsiung 2001).

شدت انفجارسنگ نیز مطابق جدول ۱۳، قابل پیش‌بینی است.

جدول ۱۰- پتانسیل انفجارسنگ بر مبنای معیار انرژی الاستیک خطی

شدت انفجارسنگ	خیلی کم	کم	متوسط	زیاد	خیلی زیاد	PES (Kj/m <sup>3</sup> )
>۲۰۰	۲۰۰-۱۵۰	۱۵۰-۱۰۰	۱۰۰-۵۰	<۵۰		

جدول ۱۱- پتانسیل انفجارسنگ بر مبنای معیار تنش مماسی

شدت انفجارسنگ	بدون انفجار	ضعیف	متوسط	شدید	بسیار شدید	T <sub>S</sub>
>۰/۹	۰/۹-۰/۷	۰/۷-۰/۵	۰/۵-۰/۳	<۰/۳		

جدول ۱۲- پتانسیل انفجارسنگ بر مبنای معیار تردی

شدت انفجارسنگ	بدون انفجار	ضعیف	متوسط	شدید	B
<۱۴/۵	۱۴/۵-۲۶/۷	۴۰-۲۶/۷	>۴۰		

جدول ۱۳- پتانسیل انفجارسنگ بر مبنای معیار تنش‌ها

شدت انفجارسنگ	بدون انفجار	ضعیف	متوسط	شدید
<۲/۵	۲/۵-۵	۱۰-۵	>۱۰	

جدول ۱۴- آورده شده است. بر اساس جدول ۱۴، معیار انرژی الاستیک

خطی بیشتر بخش‌های تونل را در محدوده بدون انفجار قرار داده است. علاوه بر این، معیار تنش‌ها، تمام بخش‌های تونل را در محدوده بدون انفجارسنگ قرار داده است. این در حالی است که، معیار تنش‌ها

و معیار تنش مماسی در حدود ۸۰ درصد از محدوده تونل را به ترتیب در محدوده انفجار متوسط تا شدید قرار داده است.

۱۴- برسی پتانسیل انفجارسنگ در تونل انتقال آب گلاب

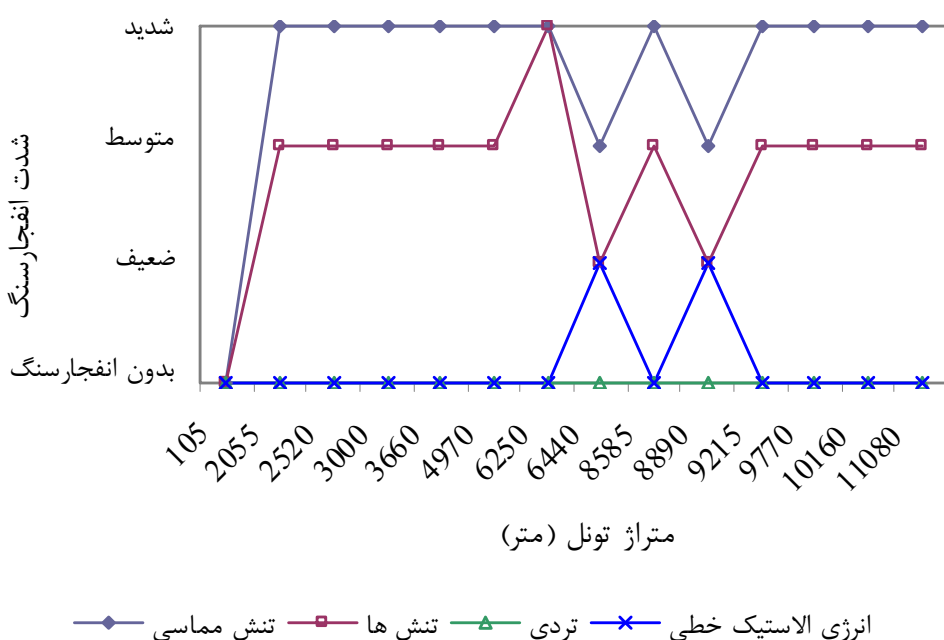
نتایج حاصل از بررسی پتانسیل انفجارسنگ (بر اساس معیارهای مختلف) برای محدوده‌هایی از تونل که وقوع این پدیده در آنها متحمل است، در تصویر ۳ ارائه شده است.

برای ارزیابی نتایج معیارهای مختلف، درصدی از محدوده‌های مطالعه شده که در هر رده از انفجارسنگ قرار دارند، محاسبه شده و در

ضعیف توده‌سنگ، پتانسیل ضعیف تا متوسط مچاله‌شوندگی محتمل است. با توجه به بررسی‌های انجام شده، به طور متوسط ۳۹، ۲۱، ۱۹ و ۲۱ درصد از کل بخش‌ها به ترتیب در رده بدون مچاله‌شوندگی، مچاله‌شوندگی ضعیف، متوسط و شدید قرار دارند. بنابراین پتانسیل بدون مچاله‌شوندگی تا مچاله‌شوندگی ضعیف برای این تونل پیش‌بینی شده است. در بررسی پتانسیل انفجارسنگ، با صرف نظر از معیار تردی که به طور خوب‌بینانه برای تمامی بخش‌ها پتانسیل بدون انفجارسنگ را پیش‌بینی کرده است، با مقایسه معیارهای تنش مماسی و معیار تنش‌ها، به طور متوسط ۵۰، ۷، ۲۳ و ۲۰ درصد از کل بخش‌ها به ترتیب در رده‌های بدون انفجارسنگ، انفجارسنگ ضعیف، متوسط و شدید قرار گرفته است. بنابراین، شدت انفجارسنگ در رده بدون انفجار تا انفجار ضعیف پیش‌بینی شده است.

## ۵- بررسی پتانسیل خطرات احتمالی

نتایج بررسی شدت مچاله‌شوندگی و انفجارسنگ، در تصویر ۴ آورده شده است. محدوده مورد مطالعه نیز طبق جدول ۱۵، به سه بخش تقسیم گردید. بر این اساس، برای محدوده A با توده‌سنگ‌های ضعیف تا بسیار ضعیف و متوسط روباره ۲۲۰ متر، پتانسیل مچاله‌شوندگی متوسط پیش‌بینی شده است. مقاومت‌های توده‌سنگ‌های مسیر تونل، در محدوده B قرار داشته و با توجه به نتایج، شدت انفجارسنگ و مچاله‌شوندگی در این محدوده، در رده انفجارسنگ ضعیف و یا بدون مچاله‌شوندگی تا مچاله‌شوندگی ضعیف پیش‌بینی شده است. این نتایج، با روباره نسبتاً زیاد و توده‌سنگ‌های مقاوم در این محدوده مطابقت داشته و توجه بیشتر به خطر انفجارسنگ را یادآور می‌سازد. در محدوده C نیز، با وجود روباره زیاد و کیفیت ضعیف تا نسبتاً

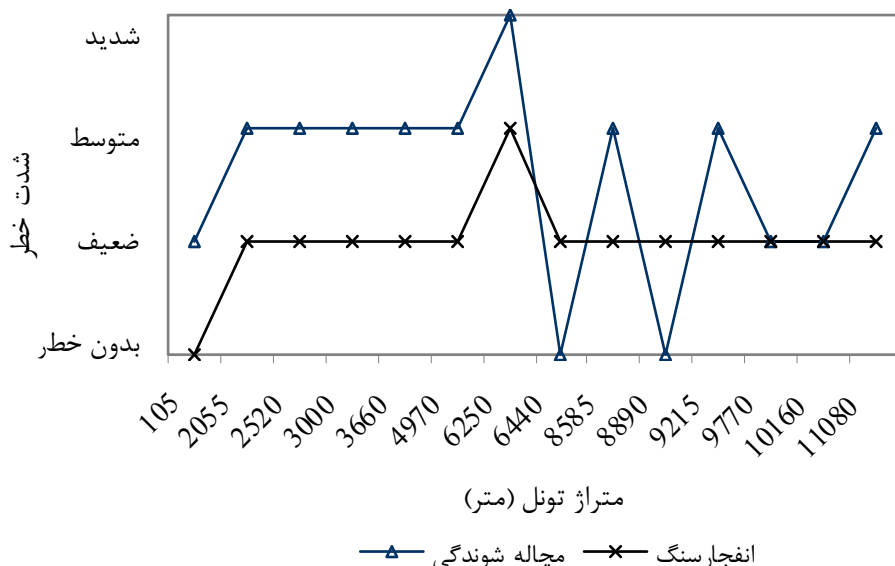


تصویر ۳- مقایسه روش‌های ارزیابی پتانسیل انفجارسنگ

جدول ۱۴- مقایسه روش‌های ارزیابی پتانسیل انفجارسنگ

معیار درصدی از تونل که در هر رده از انفجارسنگ قرار می‌گیرد

	بدون انفجارسنگ	ضعیف	متوسط	شدید	انرژی الاستیک خطی
۰	۰	۱۴	۸۶		
۰	۷۸	۱۵	۷		تنش ها
۷۹	۱۴	۰	۷		تنش مماسی
۰	۰	۰	۱۰۰		تردی



تصویر ۴- مقایسه بررسی شدت مچاله‌شوندگی و انفجارت سنگ در تونل انتقال آب گلاب

جدول ۱۵- پهنه‌بندی مسیر تونل انتقال آب گلاب با تاکید بر مچاله‌شوندگی و انفجارت سنگ

خطر زمین‌شناسی	طبقه‌بندی مهندسی Q		مقدار متوجه پایداری	مقدار متوسط روباره (متر)	متوسط کیلومتر روباره (متر)	قطعه
	طبقه‌بندی پایداری	طبقه‌بندی مهندسی				
مچاله‌شوندگی متوسط	بسیار ضعیف	٠/٥٦	١٣٧	٤٩٧٠-١٠٥	A	
مچاله‌شوندگی شدید تا انفجارت سنگ ضعیف	نسبتاً خوب	٤/٥	٤٠٠	٤٩٧٠-٦٤٤٠	B	
مچاله‌شوندگی ضعیف تا متوسط	ضعیف	١/٨٦	٤١٩	٦٤٤٠-١٠١٦٠	C	

شکل مورد نظر ایجاد شد. پس از ایجاد تونل، مدل تا رسیدن به تعادل نهایی مجدداً حل شد. در نهایت، برای بررسی وضعیت پایداری تونل، میزان جایگایی دیواره، کف و سقف تونل پیش از نصب نگهداری مناسب و نیز پس از نصب آن مورد مقایسه قرار گرفت. در این تحلیل‌ها، داده‌های ورودی برای هر یک از بخش‌های زمین‌شناسی، مطابق با جدول ۱۶ در نظر گرفته شده است.

جهت بررسی پایداری هر یک از بخش‌های تونل، از روش ارائه شده توسط ساکورائی استفاده شده است. این روش بر مبنای کرنش بحرانی می‌باشد. ساکورائی (Sakurai et al. 2008)، بر اساس مدول الاستیستیته سنگ، سه محدوده کرنش را ارائه داد. بر این اساس، رابطه ۹ حد بالای کرنش، رابطه ۱۰ حد پایین کرنش و رابطه ۱۱ میانگین لگاریتمی این دو رابطه را نشان می‌دهد.

$$\text{رابطه (9)} \quad \text{Log}e_c = -0.25\text{Log}E - 0.85$$

$$\text{رابطه (10)} \quad \text{Log}e_c = -0.25\text{Log}E - 1.22$$

$$\text{رابطه (11)} \quad \text{Log}e_c = -0.25\text{Log}E - 1.59$$

#### ۶- بررسی نگهداری اولیه تونل با تاکید بر شدت مچاله‌شوندگی

##### و انفجارت سنگ

تجربه نشان داده است که روش‌های تجربی و مشاهده‌ای نمی‌توانند به تنها بی رفتار سازه‌های زیرزمینی را به شکل مناسب و قابل اطمینانی تحلیل کنند.

به منظور تحلیل عددی پایداری تونل انتقال آب گلاب، از نرم‌افزار FLAC (بر اساس روش تفاضل محدود) استفاده شد. برای تحلیل زون خرد شده تونل، ابعاد مدل ۵۰ متر در ۵۰ متر در نظر گرفته شده و مدل‌سازی با استفاده از پارامترهای خروجی نرم‌افزار Rocklab انجام شد. با فرض پیوسته بودن مدل و اینکه معیار شکست موهر-کلمب در مورد مواد شبیه پیوسته، نتایج قابل قبولی را ارائه می‌دهد، این معیار برای تحلیل انتخاب گردید (Itasca Consulting Group Inc. 2002).

در استفاده از نرم‌افزار عددی، ابتدا با اعمال شرایط مرزی و تنش‌های اولیه در حدوده مناسبی از مدل، مدل قبل از حفاری تونل حل شد. سپس با صفر نمودن جایگایی‌ها ایجاد شده در مرزهای مدل، تونل با

سامانه نگهداری اولیه تونل در پهنه‌های مورد بررسی، شاتکریت است. در بررسی مناسب بودن ضخامت شاتکریت در هر یک از پهنه‌های مورد مطالعه، جایجایی قائم تونل پس از نصب نگهداری اولیه در نظر گرفته شده است.

مشخصات شاتکریت استفاده شده و بررسی مناسب بودن آن در هر یک واحدی زمین‌شناسی، در جدول ۱۸ آورده شده است. بر این اساس، برای بخش‌های A و C ۵ سانتی‌متر شاتکریت و برای بخش B، ۷ سانتی‌متر شاتکریت در نظر گرفته شد.

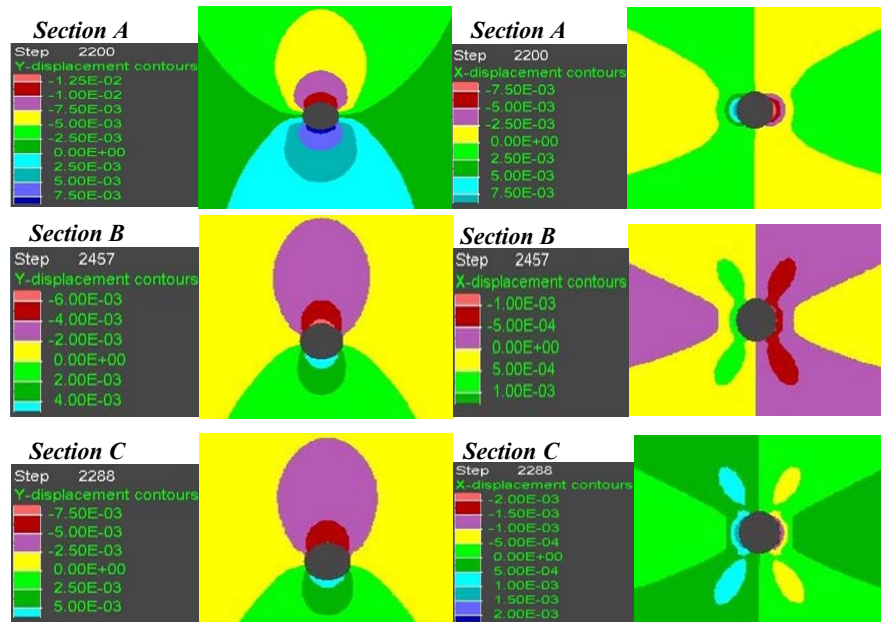
در این روابط، E: مدول تغییرشکل پذیری توده‌سنگ (Kg/cm<sup>2</sup>) و  $\epsilon_c$ : کرنش بحرانی است. جابجایی مجاز نیز از رابطه ۱۲ محاسبه می‌گردد.

$$\text{رابطه } 12: \epsilon_c = \frac{U_c}{a}$$

در این رابطه،  $U_c$  مقدار جابجایی مجاز در سقف و a شعاع تونل است. خروجی‌های جابجایی قائم و افقی نرمافزار عددی برای هر یک از پهنه‌های مورد مطالعه، در تصویر ۵ آورده شده است. نتایج مدل‌سازی هر پهنه در جدول ۱۷ ارائه شده است.

جدول ۱۶- پارامترهای توده‌سنگ استفاده شده در نرم‌افزار FLAC

$\sigma_c$ (MPa)	E (Gpa)	$\Phi$ (deg)	چگالی (t/m <sup>3</sup> )	C (MPa)	روباره (m)	واحد زمین‌شناسی
۴/۰۹	۲/۴۷	۲۹/۶۳	۲/۶۴	۰/۲۱۸	۱۳۷	A
۱۷/۳۵	۶/۶۵	۳۹/۹۵	۲/۷۴	۱/۲۱۸	۴۰۰	B
۱۳/۰۳	۵/۷۲	۳۷/۸۳	۲/۲۶	۰/۸۴۶	۴۱۹	C



تصویر ۵- خروجی جابجایی‌های افقی و قائم تونل در محدوده‌های مورد مطالعه

جدول ۱۷- بررسی نتایج مدل‌سازی عددی در تونل انتقال آب گلاب

وضعیت پایداری	واحد سنگ جابجایی مجاز (mm)						واحد زمین‌شناسی
	کف	دیوار	سقف	کف	دیوار	سقف	
ناپایدار	۲/۱۵۲	۹/۲۶۲	۴/۸۸۱	۸/۳۹۸	۱/۷۰۷	۱/۱۸۵	۱/۰۰۸ A
ناپایدار	۱/۴۹۲	۱/۶۲۸	۱/۰۵۵	۵/۳۷۹	۱/۰۵۰	۶/۶۵۱	۰/۷۷۷ B
ناپایدار	۰/۴۷۱	۱/۰۴۱	۰/۴۵۴	۶/۰۴۲	۵/۲۱۷	۷/۶۸۰	۰/۸۱۹ C

جدول ۱۸- پارامترهای مکانیکی شاتکریت استفاده شده

نگهداری	حداکثر جابجایی قائم پس از نگهداری (mm)				ضخامت (cm)	ثابت (Kg/cm <sup>2</sup> )	ممان اینرسی (m <sup>4</sup> )	E (Pa/m)	قطعه
	بررسی کف	دیوار	سقف	بررسی مناسب					
مناسب	-	-	-	مناسب	۵	۳۵۰	$۱/۰۴۲ \times ۱۰^{-۵}$	$۱۵ \times ۱۰^۹$	A
مناسب	$۳/۴۴ \times ۱۰^{-۴}$	$۵/۴۳ \times ۱۰^{-۴}$	$۸/۴۲ \times ۱۰^{-۴}$	مناسب	۷	۳۵۰	$۲/۸۵۸ \times ۱۰^{-۵}$	$۱۵ \times ۱۰^۹$	B
مناسب	$۲/۲۱ \times ۱۰^{-۵}$	$۷/۲۴ \times ۱۰^{-۵}$	$۹/۴۷ \times ۱۰^{-۵}$	مناسب	۵	۳۵۰	$۱/۰۴۲ \times ۱۰^{-۵}$	$۱۵ \times ۱۰^۹$	C

prediction", *Journal of Rock Mechanics and Rock Engineering*, Vol. 26 (4): 137-163.

**Baisheng, N. & Xiangchun, L., 2012**, "Mechanism research on coal and gas outburst during vibration blasting", *Safety Science*, Vol. 50: 741-744.

**Barla, G., 2002**, "Tunneling under Squeezing Rock Conditions", 98 pp.

**Barla, G. 2002** "Tunnelling under squeezing rock conditions", In: Kolymbas, D. (ed.), *Advances in Geotechnical Engineering and Tunnelling*: 169-268.

**Casten, U. & Fajkiewicz, Z., 1993**, "Induced gravity anomalies and rockburst risk in coal mines – a case history", *Geophysical Prospecting*, Vol. 41(1): 1-13.

**Cook, N.G.W., Hoek, E., Pretorius, J.P.G., Ortlepp, W.D. & Salamon, M.D.G., 1966**, "Rock mechanics applied to the study of rock bursts", *Journal of the South African Institute of Mining and Metallurgy*, Vol. 66: 435-528.

**Dalgic, S., 2002**, "Tunneling in squeezing rock, the Bolu tunnel, Anatolian Motorway, Turkey", *Engineering Geology*, Vol. 67 (12): 73-96.

**Goel, R. K., Jetwa, J. L. & Dube, A. K., 1997**, "Support Pressure Assessment in Arched Underground Opening through Poor Rock Masses", *Journal of Engineering Geology*, Vol. 48: 59-81.

**Gong, F.Q. & Li, X.B., 2007**, "A distance discriminant analysis method for prediction of possibility and classification of rockburst and its application", *Chinese Journal of Rock Mechanics and Engineering*, Vol. 26 (5): 1012-1018 (in Chinese).

**Hoek, E. & Marinos, P., 2000**, "Predicting tunnel squeezing problems in weak Heterogeneous rock masses", *Tunnels and Tunneling International*: 45 -51: part one, 33-36: part two.

**Hu, H., Linming, D., Xuwei, L., Qiuqiu, Q., Tongjun, C. & Siyuan, G., 2011**, "Active velocity tomography for assessing rock burst hazards in a kilometer deep mine", *Mining Science and Technology (China)*, Vol. 21: 673-676.

**Hudson, J.A., 2010**, "Stresses in rock masses: a review of key points", In: Vrkljan, I. (Ed.), *Rock Engineering in Difficult Rock Conditions Soft Rocks and Karst*", Taylor & Francis Group, London: 61 pp.

**Hsiung, S.M., 2001**, "Predicting rock burst", *Institut of technology today, SWRI Publication*.

**Itasca consulting Group Inc., 2002**, "FLAC User's Manual", (Ver. 4), ITASCA Itasca Consulting Group, Inc., Minneapolis, Minnesota.

## ۷- نتیجه‌گیری

از مزایای روش‌های تجربی در بررسی خطرات مچاله‌شوندگی و انفجارستنگ در جریان طراحی و اجرای سازه‌های زیرزمینی، می‌توان به ارزان بودن و سریع بودن آنها اشاره نمود. نتایج این پژوهش، وقوع پدیده انفجارستنگ را در محدوده‌های زمین‌شناسی مقاوم و عمیق و مچاله‌شوندگی را در محدوده‌های سست و با روباره زیاد، پیش‌بینی کرده است. بر اساس تحلیل‌های انجام شده، مشخص شد که روش‌های تحلیلی، تجربی و نیمه‌تجربی در ارزیابی هر دو پدیده مچاله‌شوندگی و انفجارستنگ هم‌خوانی نسبتاً مناسبی دارند. بر این اساس، مسیر تونل به سه محدوده A (کیلومتر ۱۰۵ تا ۴۹۷۰) با مچاله‌شوندگی متوسط، B (کیلومتر ۶۴۴۰ تا ۴۹۷۰) با مچاله‌شوندگی شدید تا انفجارستنگ ضعیف و C (کیلومتر ۶۴۴۰ تا ۱۰۱۶۰) با مچاله‌شوندگی ضعیف تا متوسط تفکیک شد. نتایج بررسی‌های عددی، مقدار حداکثر جابجایی قائم در سقف و جابجایی افقی در دیوار تونل را پیش‌بینی کرد است. با این وجود، مقدار ۵ سانتی‌متر شاتکریت برای نگهداری اولیه بخش-های A و C و ۷ سانتی‌متر شاتکریت برای بخش B پیشنهاد شد. با توجه به اینکه پیش‌بینی دقیق مچاله‌شوندگی و انفجارستنگ در جریان حفاری فضاهای زیرزمینی نسبتاً عمیق امکان‌پذیر نیست، برای جلوگیری از هرگونه حادثه غیر متظره، اتخاذ تمهیلاتی از جمله استفاده از روش‌های آزادسازی تنش، انتخاب مناسب سامانه نگهداری و زمان نصب آن در نواحی مستعد خطر ضروری می‌باشد.

## مراجع

- فرهودی، ق.، راهنما راد، ج.، رحیمی، ع.، سامانی، ب.، کریمی، ا.، ۱۳۸۶، "زمین‌شناسی مهندسی و ردبهندی مهندسی تووده‌سنگ در ساختگاه سد خاکی قره‌پیری در شمال شرق شیراز"، *فصلنامه زمین‌شناسی کاربردی*، سال ۳ (۱): ۴۳-۳۳.
- قیاسوند، ص.، ۱۳۸۵، "ارزیابی پتانسیل لهیلدگی در تووده‌سنگ‌های مسیر تونل انتقال آب گلاب"، مجموعه مقالات هفتمین کنفرانس توغل ایران: ۷۹-۶۷.
- Aydan, Ö., Akagi, T. & Kawamoto, T., 1993, "The squeezing potential of rock around tunnels: theory and

- caving coal face passed fault with deep mining", *Safety Science*, Vol. 50: 645-648.
- Yang, J.L., Li, X.B., Zhou, Z.L. & Lin, Y., 2010**, "A Fuzzy assessment method of rock-burst prediction based on rough set theory", *Metal Mine*, Vol. 6: 26–29 (in Chinese).
- Zhao, H.B., 2005**, "Classification of rock burst using support vector machine", *Rock and Soil Mechanics*, Vol. 26 (4): 642-644 (in Chinese).
- Zhou, J., Shi, X.Z., Dong, L., Hu, H.Y. & Wang, H.Y., 2010**, "Fisher discriminant analysis model and its application for prediction of classification of rock burst in deepburied long tunnel", *Journal of Coal Science and Engineering (China)*, 16 (2): 144-149.
- Zhu, W.C., Li, Z.H., Zhu, L. & Tang, C.A., 2010**, "Numerical simulation on rock burst of underground pening triggered by dynamic disturbance", *Tunneling and Underground Space Technology*, Vol.25: 587-599.
- Jethwa, J.L., Singh, B. & Singh, B., 1984**, "Estimation of ultimate rock pressure for tunnel linings under squeezing rock conditions – a new approach", In: Brown, E.T. & Hudson, J. A. (eds.), *Design and Performance of Underground Excavations*, ISRM Symposium, Cambridge: 231-238.
- Jun, F., Linming, D., Hua, H., Taotao, D., Shibin, Z., Bing, G. & Xinglin, S., 2012**, "Directional hydraulic fracturing to control hard-roof rock burst in coal mines", *International Journal of Mining Science and Technology*, Vol. 22: 177–181.
- Jiang, Q., Feng, X.T., Xiang, T.B. & Su, G.S., 2010**, "Rock burst characteristics and numerical simulation based on a new energy index: a case study of a tunnel at 2500 m depth", *Bulletin of Engineering Geology and the Environment*, Vol. 69: 381–388.
- Kwasniewski, M., Szutkowski, I. & Wang, J. A., 1994**, "Study of ability of coal from seam 510 for storing elastic energy in the aspect of assessment of hazard in Porabka-Klimontow Colliery", *Sci. Rept. Silesian Technical University*.
- Linkov, A. M., 1996**, "Rockburst and the instability of rock masses", *International Journal of Rock Mechanics and Mining Science*, Vol. 33: 727-732.
- Rocscience Inc., 2002**, "Rocklab user's guide", 25 pp.
- Sakurai, S., Akutagawa S., Takeuchi K., Shinji M. & Shimizu N., 2008**, "Back analysis for tunnel engineering as a modern observational method", *Tunneling and Underground Space Technology*: 185-196.
- Sharan, S.K., 2004**, "A finite element perturbation method for the prediction of Rock burst", *Computers and Structures*, Vol. 85: 1304-1309.
- Shrestha, G.L. & Broch, E., 2008**, "Influences of the valley morphology and rock mass strength on tunnel convergence: with a case study of Khimti 1 headrace tunnel in Nepal", *Tunnelling and Underground Space Technology*, Vol. 23: 638-650.
- Shivakumar, K., Rao, M.V.M.S., Srinivasan, C. & Kusunose, K., 1996**, "Multifractal analysis of the spatial distribution of area rock bursts at Kolar Gold Mines", *International Journal of Rock Mechanics & Mining Sciences*, Vol. 33 (2): 167-172.
- Singh, M., Singh, B. & Choudhari, J., 2007**, "Critical strain and squeezing of rock mass in tunnels" *Journal of Tunneling and Underground Space Technology*, Vol. 22: 343-350.
- Terzaghi, K., 1946**, "Rock tunneling with steel supports", *The Commercial Shearing and Stamping Co, Youngstown, Ohio, Chapter Rock defects and loads in tunnel supports*: 17-99.
- Wang, J.A. & Park, H.D., 2001**, "Comprehensive Prediction of Rockburst Based on Analysis of Strain Energy in Rocks", *Tunneling and Underground Space Technology*, Vol.16: 49-57.
- Wang, Y.C., Shang, Y.Q., Sun, H.Y. & Yan, X.S., 2010**, "Study of prediction of rockburst intensity based on efficacy coefficient method", *Rock and Soil Mechanics*, 31 (2): 529-534 (in Chinese).
- Xuehua, C., Weiqing, L. & Xianyang, Y., 2012**, "Analysis on rock burst danger when fully mechanized